

# Fundamentos de Redes Neurais Profundas: Abordagem Baseada em Redes Convolucionais.

**Rafael Gonçalves & Romis Attux.**

Faculdade de Engenharia Elétrica e de Computação - Unicamp  
r186062@dac.unicamp.br, attux@dca.fee.unicamp.br



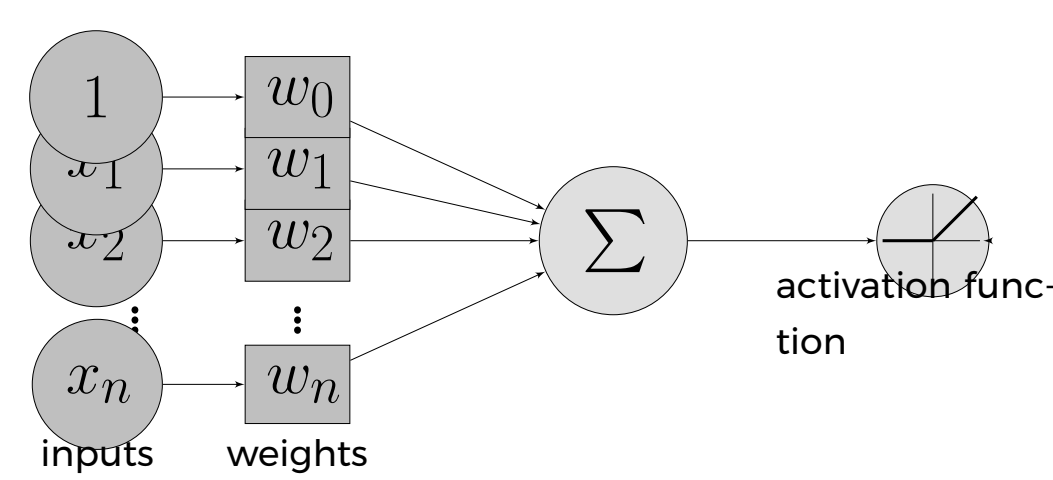
## Introdução

Redes neurais artificiais são sistemas de computação não lineares e adaptativos originalmente inspirados nas redes neurais biológicas presentes no sistema nervoso dos animais. Especialmente com o advento de redes neurais profundas e o conceito de aprendizado profundo, este se tornou um importante paradigma dentro do campo de aprendizado de máquina e é amplamente utilizado para resolver uma variedade de problemas atuais.

Neste contexto, esta pesquisa buscou estudar teoricamente redes neurais profundas baseado em um livro recente e representativo [1] e posteriormente aplicar um modelo específico de rede neural – a saber uma rede convolucional – ao problema conhecido de reconhecimento de dígitos escritos à mão utilizando a base de dados MNIST [2].

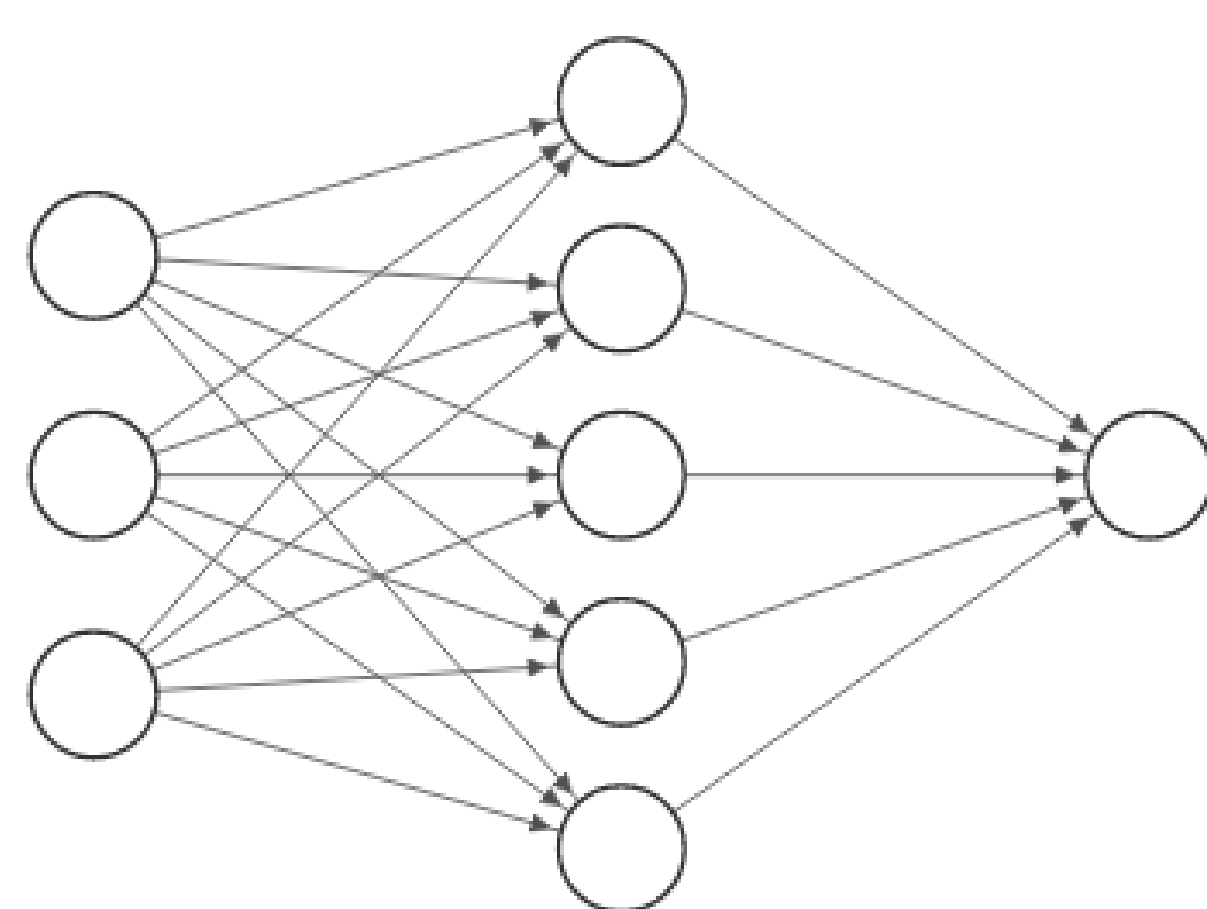
## Discussões e Resultados

### MLP



**Figura 1:** Neurônio perceptron.

As redes MLP podem ser vistas como redes de neurônios perceptron interligados em forma de camadas: uma camada de entrada que recebe cada entrada do vetor  $x$ , uma ou mais camadas intermediárias e uma camada de saída. Exemplo de uma rede MLP pode ser visto na figura 2.



Input Layer  $\in \mathbb{R}^3$  Hidden Layer  $\in \mathbb{R}^5$  Output Layer  $\in \mathbb{R}^1$

**Figura 2:** Exemplo de rede MLP com 3 atributos de entrada, uma camada intermediária com 5 neurônios e uma camada de saída com um único neurônio, gerado com [4].

Desta forma, matematicamente a saída de uma dessas redes – considerando  $W^n$  e  $f^n$  como respectivamente matriz de pesos e função de ativação da camada  $n$  – é:

$$y = f^N(W^N \cdot \dots f^2(W^2 \cdot f^1(W^1 \cdot x + w_0^1) + w_0^2) + w_0^N)$$

Ou ainda se definirmos uma matriz de entrada que admita  $M$  exemplos em uma mesma estrutura:

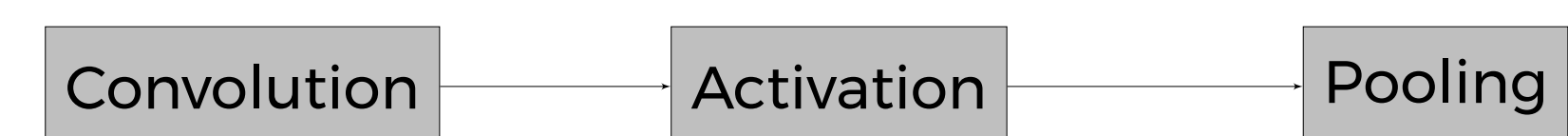
$$y = F^n(\dots F^2(F^1(\Phi \cdot W^1)W^2)W^N) \quad (1)$$

Com:

$$X = \begin{bmatrix} x_1 \\ x_2 \\ \vdots \\ x_M \end{bmatrix} \quad \Phi = \Phi(X) = \begin{bmatrix} 1 & x_1 \\ 1 & x_2 \\ \vdots & \vdots \\ 1 & x_M \end{bmatrix} \quad y = \begin{bmatrix} y_1 \\ y_2 \\ \vdots \\ y_M \end{bmatrix}$$

$$F^n(u) = \begin{bmatrix} f^n(u_1) & 0 & \dots & 0 \\ 0 & f^n(u_2) & \dots & 0 \\ \vdots & \vdots & \ddots & \vdots \\ 0 & 0 & \dots & f^n(u_M) \end{bmatrix}$$

### CNN

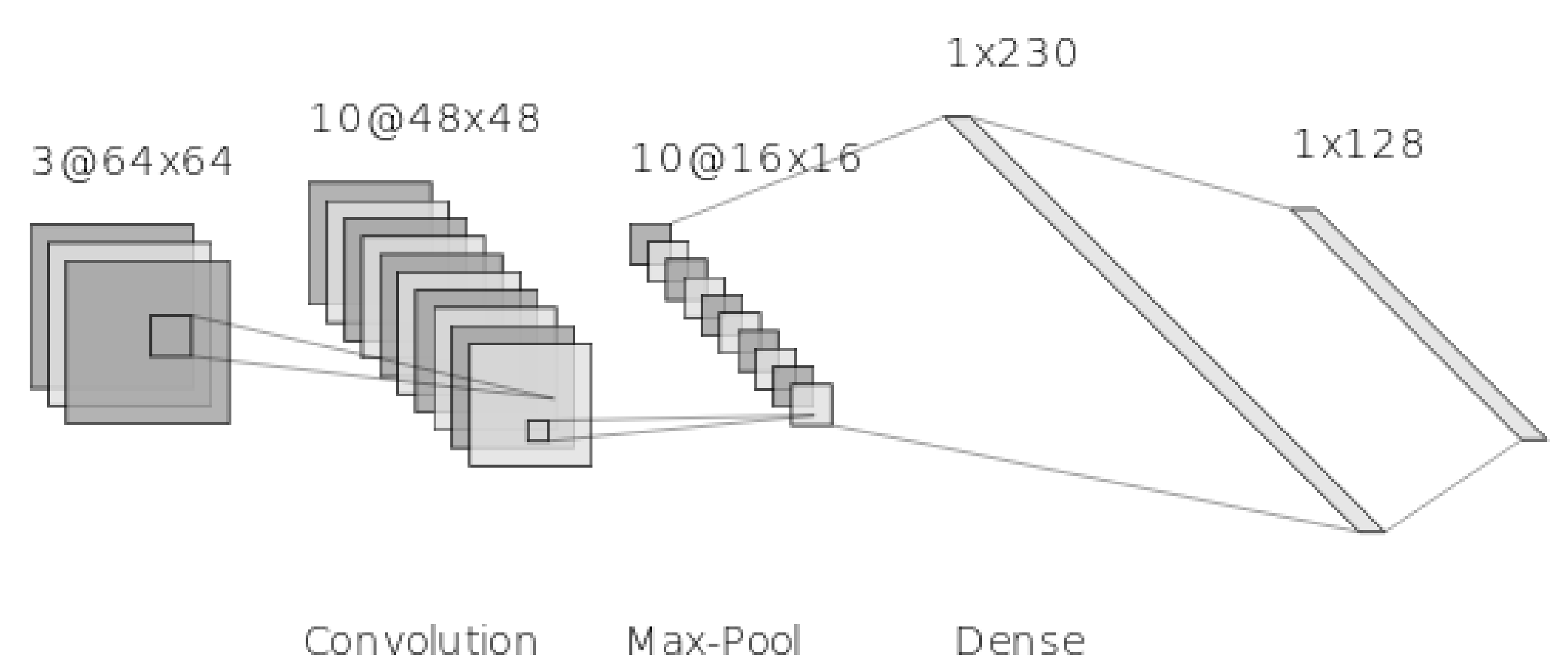


**Figura 3:** Etapas de uma camada convolucional.

Exemplo da operação de convolução entre uma imagem  $I$  2D e um kernel  $K$  [?]:

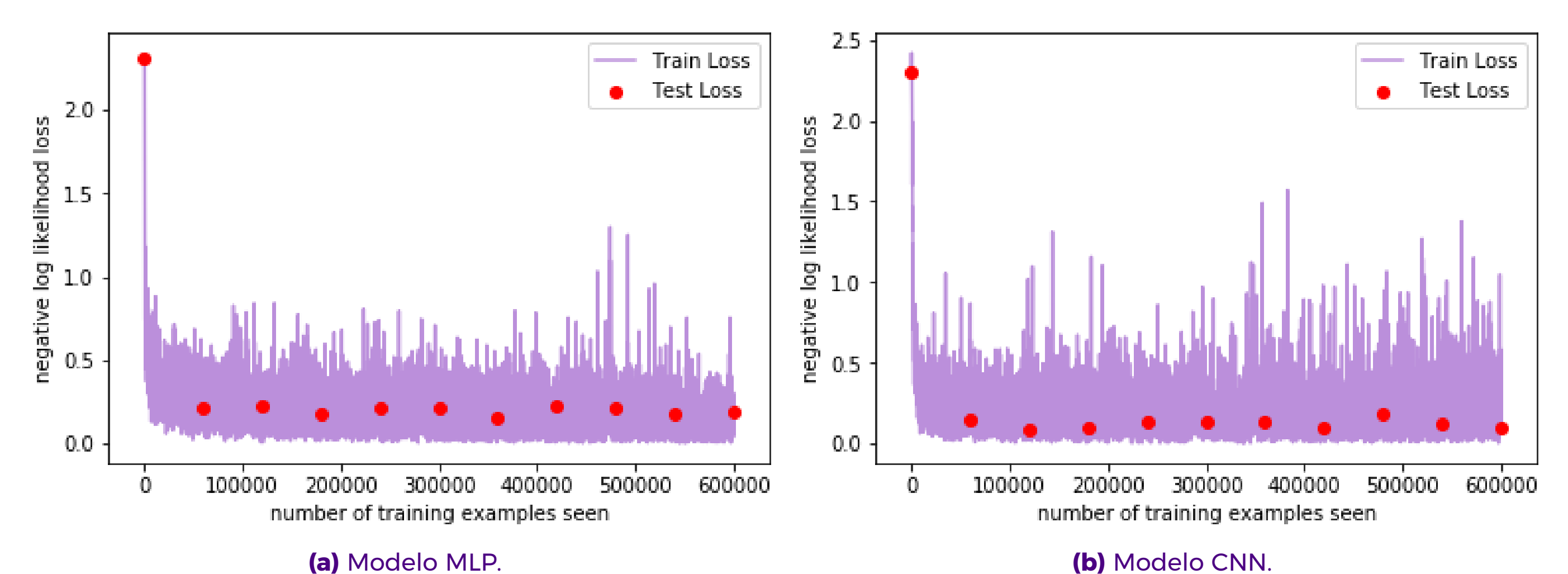
$$(I * K)(i, j) = (K * I)(i, j) = \sum_m \sum_n K(m, n) \cdot I(i - m, j - n) \quad (2)$$

A figura 4 mostra um exemplo de CNN.



**Figura 4:** Exemplo de rede CNN com 1 camada convolucional - convolução e max-polling - e 2 camadas FC, gerado com [4].

### Progressão do erro ao longo das épocas de treinamento.



**Figura 5:** Curva de aprendizado dos melhores modelos de cada tipo de arquitetura.



**Tabela 1:** Modelos finais avaliados no conjunto de teste.

Model	Best Epoch	Best Accuracy
MLP	10	0.9663
CNN	7	0.9771

## Conclusões

O estudo mostrou que tanto a arquitetura MLP como a CNN são viáveis para o problema de classificação de dígitos escritos a mão [2]. O modelo final de rede convolucional apresentou um resultado ligeiramente melhor – acurácia de 97.7% em comparação à 96.6% referente à MLP.

O uso de dropout teve pouca influência em ambas as arquiteturas, sendo que nas redes MLP o mesmo contribuiu negativamente para o aumento da acurácia e nas redes CNN um dropout de 30% foi o que proveu o maior índice. Nas redes MLP a variação do número de neurônios nas camadas intermediárias teve pouca influência o problema pode ser re-

solvido por modelos mais simples.

## Agradecimentos

O estudante gostaria de expressar seu agradecimento ao programa PIBIC/CNPq/Unicamp pelo auxílio financeiro e em especial à Romis Attux por todo o incentivo e apoio durante o desenvolvimento da pesquisa.

## Referências

[1] I. Goodfellow, Y. Bengio, A. Courville. *Deep Learning*. MIT Press, 2016.

[2] Y. LeCun. *The MNIST Database of Handwritten Digits*. <http://yann.lecun.com/exdb/mnist>. (acessado em 07/07/2019).

[3] R. Gonçalves. *mnist\_nn*. [https://github.com/RafaelGoncalves8/mnist\\_nn](https://github.com/RafaelGoncalves8/mnist_nn) (acessado em 20/07/2019).

[4] LeNail. *NN-SVG: Publication-Ready Neural Network Architecture Schematics*. <http://alexlenail.me/NN-SVG/>. Journal of Open Source Software, 2019. (acessado em 20/07/2019).